

• 口腔肿瘤研究 •

miR-146a 在口腔鳞癌组织及细胞中的表达及功能研究

王丽萍 郭雪琪 闫勇 勇 查骏 陈伟鸿 魏永祥 朱昕欣 管红兵 葛林虎*

(广州医科大学附属口腔医院, 广州口腔疾病研究所, 口腔医学重点实验室 广东 广州 510140)

[摘要] 目的: 探究 miR-146a 在口腔鳞状细胞癌(OSCC)组织及细胞中的表达及其对口腔鳞癌细胞生物学行为能力的影响。方法: 采用荧光定量聚合酶链反应(RT-PCR)法检测 OSCC 组织及细胞中 miR-146a 的表达, 观察 miR-146a 对 OSCC 细胞增殖、侵袭、迁移等能力的影响。结果: 与癌旁组织相比 OSCC 组织中 miR-146a 呈明显高表达($P < 0.05$); 与正常口腔上皮细胞 HOK 相比, OSCC 细胞系 Scc9、Scc25、Cal27 中 miR-146a 表达水平明显偏高($P < 0.05$)。上调 miR-146a 表达后, Scc9 及 Cal27 的细胞增殖能力明显增加($P < 0.05$), Scc9、Scc25、Cal27 的侵袭和迁移能力明显增加($P < 0.05$); 抑制 miR-146a 表达后, Scc9、Scc25、Cal27 的侵袭和迁移能力明显降低($P < 0.05$)。结论: miR-146a 在 OSCC 和口腔癌细胞中呈明显高表达, 对于促进口腔癌的增殖、侵袭和迁移具有重要意义。

[关键词] miR-146a 口腔鳞状细胞癌 miRNA

[中图分类号] R739.8 **[文献标识码]** A **[文章编号]** 1671-7651(2017)11-1204-05

[doi] 10.13701/j.cnki.kqxyj.2017.11.018

Effect and Functional Role of miR-146a in Oral Squamous Cell Carcinoma Tissues and Cell Lines. WANG Li-ping, GUO Xue-qing, YAN Yong-yong, ZHA Jun, CHEN Wei-hong, WEI Yong-xiang, ZHU Xin-xin, GUAN Hong-bing, GE Lin-hu*. Key Laboratory of Oral Medicine, Guangzhou Institute of Oral Disease, Stomatology Hospital of Guangzhou Medical University, Guangzhou 510140, China.

[Abstract] **Objective:** To explore the expression and its functional role of miR-146a in oral squamous cell carcinoma (OSCC) tissues. **Methods:** RT-PCR was performed to detect the expression level of miR-146a in OSCC tissues and OSCC cell lines. CCK8 assay, transwell assay and wound healing assay were performed to observe cell proliferation, invasion and migration abilities. **Results:** The expression of miR-146a was significantly higher in OSCC tissues compared to the adjacent tissues ($P < 0.05$), and the expression of miR-146a in OSCC cell lines such as Scc9, Scc25, and Cal27 were substantially higher than the normal oral epithelial cells (HOK) ($P < 0.05$). The proliferation, invasion and migration abilities were substantially enhanced in Scc9 and Cal27 cells transfected with miR-146a mimics ($P < 0.05$). The invasion and migration abilities were substantially decreased in Scc9, Scc25, and Cal27 cells transfected with miR-146a inhibitor ($P < 0.05$), but the proliferation abilities showed no statistically differences in Scc9, Scc25, and Cal27 cells transfected with miR-146a inhibitor. **Conclusion:** miR-146a shows a significant expression in OSCC tissues and cell lines, is correlated with proliferation, invasion and migration of OSCC.

[Key words] miR-146a OSCC miRNA

口腔癌是最常见的头颈部恶性肿瘤, 以鳞状细胞癌为主, 每年约有 50 万新增病例, 患者可合并有不同程度的局部复发及远处转移表现, 一般预后较

基金项目 广东省科学技术厅基金项目(编号: 2014807-49)

广州市荔湾区科技信息化局基金项目(编号: 20141216070)

作者简介 王丽萍(1969~), 女, 浙江人, 学士, 主任医师, 主要从事口腔种植的临床治疗工作及相关研究。

***通讯作者** 葛林虎, E-mail:

差^[1]。MicroRNAs(miRNAs)是一类只有 20~24 个核苷酸的单链非编码 RNAs, 在肿瘤细胞的增殖、侵袭、远处转移、肿瘤血管生成以及免疫逃避等生物学行为中发挥着重要作用^[2,3]。研究表明, 口腔癌中存在多种 miRNA 表达异常, 如 miR-196 呈明显高表达, 具有一定的促癌活性^[4]。miR-146a 在不同物种间的序列高度保守性, 在生物体的生理、病理过程中发挥重要的作用^[5]。有关口腔癌组织标本的基因芯片分析结果显示, 有淋巴结转移组口腔癌

患者的 miR-146a 表达水平明显高于无淋巴结转移组,提示 miR-146a 在口腔癌的发生发展中具有一定的作用^[6]。为进一步明确 miR-146a 在口腔癌中的表达和功能,本研究构建体外研究模型,探讨 miR-146a 在口腔癌细胞中的生物学作用。

1 材料与方法

1.1 材料

1.1.1 实验试剂 miR-146a-5p mimics、miR-146a-5p control、miR-146a-5p inhibitor、miR-146a-5p negative ncontrol(Thermo Fisher Scientific), DMEM-F12 培养基、RPMI1640 培养基、胰蛋白酶、胎牛血清(GIBCO 公司), TRIZOL (Invitrogen 公司), SYBR Premix Ex Taq(TAKARA 公司), Matrigel(BD 公司), siRNA Transfection Reagent(Sigma 公司), CCK8 试剂盒(同仁)。

1.1.2 细胞株 人正常口腔角质上皮细胞系 HOK 细胞、人舌鳞癌细胞系 Scc25 细胞、Cal27 细胞及 Scc9 细胞均购于 ATCC 官网。

1.1.3 口腔癌组织及正常组织 口腔癌及癌旁组织来源于广州医科大学附属口腔医院,取得患者同意并签署书面知情同意书,经病理检查确诊为口腔鳞癌,术前均未经化疗、放疗及免疫治疗。

1.2 方法

1.2.1 细胞培养 HOK 培养于含 10% 胎牛血清 DMEM 培养基中, Scc9 及 Cal27 培养于含 10% 胎牛血清 DMEM/F12 培养基中, Scc25 培养于含

10% 胎牛血清以及 400 μg/L 氢化可的松的 DMEM/F12 培养基中,于 37 °C、5% CO₂ 的培养箱中常规培养。每隔 1~2 d 换液,并根据细胞的生长情况进行消化传代。

1.2.2 qRT-PCR 口腔癌组织标本的总 RNA 按照 RNAPrep Pure Micro Kit 说明操作,细胞总 mRNA 采用 Trizol 法,用紫外分光光度仪测定总 RNA 浓度与纯度, $A_{260} : A_{280}$ 在 1.8~2.0。按照 miRNA 反转录试剂盒操作说明进行反转录,参照 SYBR® Premix Ex Taq TM 试剂盒说明进行 qRT-PCR 检测,反应程序:95 °C 10 s, 95 °C 5 s, 60 °C 20 s, 40 个循环,所有试验重复 3 次,采用相对定量分析按照 $2^{-(\Delta\Delta Ct(\text{实验组}) - \Delta\Delta Ct(\text{对照组}))}$ 求出 miR-146a 表达水平。miR-146a 正向引物以及内参引物均由上海捷瑞生物工程有限公司设计合成,见表 1。

1.2.3 microRNA mimics 和 inhibitor 转染 取对数生长期细胞 1.5×10^5 个接种于 6 孔板,以次日贴壁细胞量达 50%~60% 为宜,次日分别以 miR-146a mimics 和 miR-146a inhibitor 转染不同孔中。用双无 DMEM 培养基 100 μL 分别稀释 10 nmol/L miR-146a mimics, miR-146a inhibitor 以及阴性对照序列,另各取 80 μL ddH₂O, 20 μL 5 × transfection buffer, 4 μL genmute 到 5 μL 上述双无 DMEM 培养基中,轻轻混匀后室温下孵育 20 min,加入不同孔槽中,然后每孔加入 1 mL 完全培养基,常规培养 48 h,检测 miR-146a 表达水平。

表 1 RT-PCR 引物

Table 1 Primers used for RT-PCR

基因名称	上游引物(5'→3')	下游引物(5'→3')
U6	GGAACGATACAGAGAAGATTAGC	TGGAACGCTTCACGAATTGCG
miR-146a	UGAGAACUGAAUCCAUUGGUU	

1.2.4 细胞增殖实验 收集转染 miR-146a mimics, miR-146a inhibitor 及阴性对照序列后的细胞接种于 96 孔板中,每孔 3000 个,培养箱中常规培养,分别于 1 d、2 d、3 d、4 d、5 d 每孔加入 10 μL CCK8 试剂,培养箱中放置 2 h,用酶标仪测定其在 450 nm 处的 A 值。

1.2.5 细胞迁移实验 取对数生长期的转染 miR-146a mimics, miR-146a inhibitor 以及阴性对照序列后的细胞制成 5×10^5 个/mL 无血清细胞悬液,向每个 Transwell 小室中加入 200 μL 细胞悬液,并在 24 孔板每孔对应加入 600 μL 的完全培养基,将小室放入孔中,培养箱培养 24 h,进行固定及染色。计数穿过微孔移到滤膜下层的细胞总数,共计数中央及四周各 5 个视野并取其平均值。

1.2.6 细胞侵袭实验 用无血清培养基对 8 g/L 的 Matrigel 胶进行水化,取 50 μL 包被于 Transwell 小室底部,37 °C 静置 2 h,取对数生长期的转染 miR-146a inhibitor 以及阴性对照序列后细胞制成 1×10^6 个/mL 无血清细胞悬液,向每个铺胶的 Transwell 小室中加入 200 μL 细胞悬液,并在 24 孔板每孔对应加入 600 μL 的完全培养基,然后将小室放入孔中,培养箱培养 24 h,进行细胞固定及染色。计数穿过微孔移到滤膜下层的细胞总数,共计数中央及四周各 5 个视野并取其平均值。

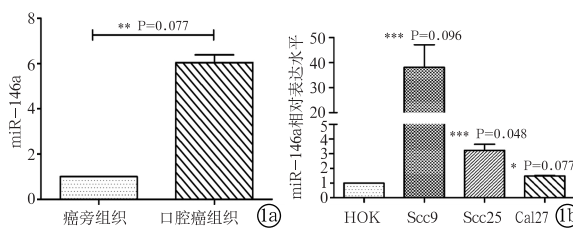


Fig. 1 The expression level of miR-146a in OSCC tissues and OSCC cell lines.

1.3 统计学分析 应用 SPSS20.0 统计软件进行分析。计量资料采用 $\bar{x} \pm s$ 表示,若数据符合正态分布、方差齐,则采用两独立样本 t 检验;若方差不齐,则采用近似 t 检验;若数据非正态分布,则采用 Wilcoxon 检验,以 $P < 0.05$ 为差异有统计学意义。

2 结果

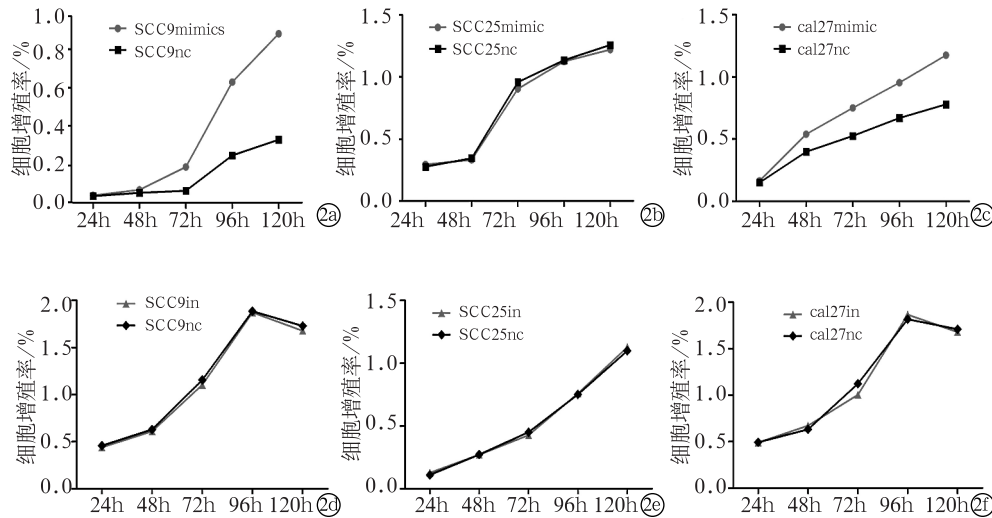


图 2 转染 miR-146a mimics 和 miR-146a inhibitor 后不同 OSCC 细胞系增殖情况

Fig. 2 The proliferation abilities of OSCC cell lines transformed with miR-146a mimics and miR-146a inhibitor.

2.3 miR-146a 对口腔癌细胞迁移能力的影响

Transwell 迁移结果显示,与阴性对照组相比,转染 miR-146a mimics 的 Scc9、Scc25 : Cal27 细胞穿过人工基底膜的细胞数明显增多,细胞迁移能力明显增强(图 3a, $P < 0.05$)。转染 miR-146a inhibitor 后,Scc9、Scc25 : Cal27 细胞穿过人工基底膜的细胞数减少,细胞迁移能力明显降低(图 3b, $P < 0.05$)。

2.4 miR-146a 对口腔癌细胞侵袭能力的影响 Transwell 侵袭结果显示,与阴性对照组相比,转染 miR-146a mimics 的 Scc9、Scc25 及 Cal27 细胞穿过人工基底膜的细胞数明显增多,细胞侵袭能力明显增强(图 4a, $P < 0.05$)。转染 miR-146a inhibitor 后,Scc9、Scc25、Cal27 细胞穿过人工基底膜的细胞数则明显减少,细胞侵袭能力明显降低(图 4b, $P < 0.05$)。

2.1 miR-146a 在口腔癌组织及细胞系中的表达水平 qRT-PCR 结果显示,6 例口腔鳞状细胞癌组织中 miR-146a 表达水平明显高于相应的癌旁组织(图 1a, $P < 0.05$)。相较于 HOK 细胞,Scc9、Scc25 及 Cal27 中 miR-146a 则呈明显高表达(图 1b, $P < 0.05$)。

2.2 miR-146a 对口腔癌细胞增殖能力的影响

CCK8 结果显示,转染 miR-146a mimics 48 h、72 h、96 h、120 h 后,Scc9 及 Cal27 细胞增殖活性明显高于阴性对照组(图 2a,2c, $P < 0.05$),转染 miR-146a mimics 后,Scc25 细胞增殖活性则无明显改变(图 2b, $P > 0.05$)。转染 miR-146a inhibitor 后 Scc9、Scc25 及 Cal27 细胞增殖活性与对照组相比无明显差异(图 2d,2e,2f, $P > 0.05$)。

3 讨论

MicroRNAs(miRNAs)是一类单链小分子非编码 RNA,具有物种保守性,在细胞周期、分化、生长、凋亡以及各种应激反应中扮演着重要角色^[7]。现已发现许多实体瘤中都有各自特异的 miRNA 表达谱,尽管目前并不完全清楚这些异常表达的 miRNA 是否是影响肿瘤发生发展及预后的根本原因,但是,这些 miRNA 在肿瘤中的作用却是显而易见的。

miRNA-146 是近年来研究较多的 miRNA 之一,位于人第 5 号染色体 LOC285628 基因上,成熟序列位于第二外显子上,在不同物种间的序列高度保守,提示其在生物体的生理、病理过程中可能发挥重要的作用^[8]。有学者利用 Genomatix 及 MatInspector 软件包分析 miR-146 的启动子,发

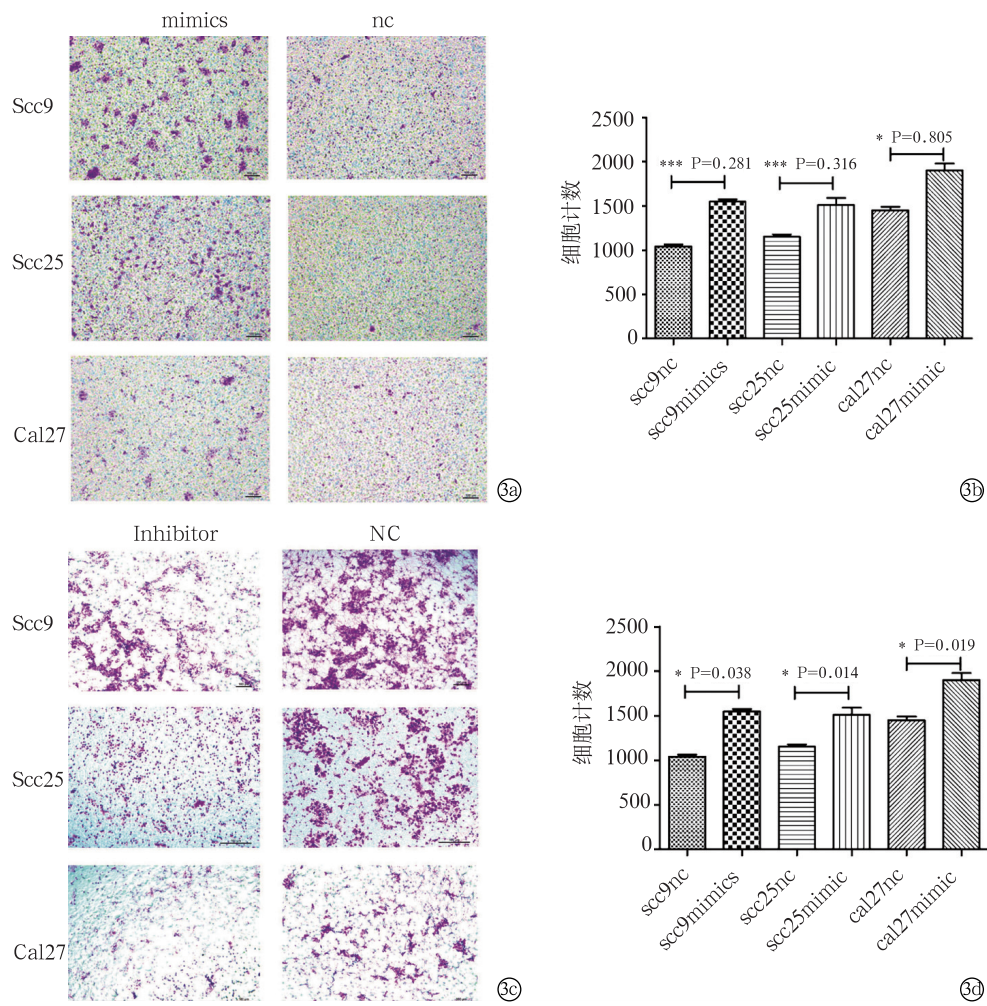


图 3 转染 miR-146a mimics 和 miR-146a inhibitor 后不同 OSCC 细胞系迁移情况

Fig. 3 The migration abilities of OSCC cell lines transformed with miR-146a mimics and miR-146a inhibitor.

现 miR-146a 的启动子位于其基因上游 550 bp 且有一 NF-κB 结合位点,并受上游基因的调节,进一步证实 miR-146 家族可参与调节 NF-κB 相关信号通路^[9]。尽管有临床研究指出,OSCC 患者血清中 miR-146a 的表达明显高于健康对照组,且外源性增加 miR-146a 表达可直接靶控 IRAK1, TRAF6 和 NUMB 基因的表达并激活 NF-κB 通路,增加多种 OSCC 细胞的致癌性,但并未进一步明确其表达与口腔癌细胞增殖、迁移、侵袭等生物学特性之间的相关性^[10]。

研究结果显示,在 OSCC 组织中 miR-146a 的表达水平明显高于癌旁组织,提示 miR-146a 在一定程度上可看作是 OSCC 发生的潜在生物学标志之一。此外,在 Scc9、Scc25 及 Cal27 等 OSCC 细胞株中,miR-146a 表达水平也明显高于正常角质上皮细胞 HOK ($P < 0.05$)。本文对 Scc9、Scc25 及 Cal27 细胞中 miR-146a 的表达水平进行了外源性干扰,在转染 miR-146a mimics 以及 miR-146a

inhibitor 的基础上,对 Scc9、Scc25 及 Cal27 细胞增殖、迁移及侵袭能力的改变进行对比研究。研究结果显示,外源性高表达 miR-146a 可在一定程度上促进 OSCC 细胞增殖、迁移及侵袭能力的增加,与此同时,抑制 OSCC 癌细胞中 miR-146a 的表达,则可明显抑制 OSCC 细胞迁移及侵袭等生物学行为的进行,提示 miR-146a 在口腔癌的发生及发展过程中具有一定的促进作用,可通过影响 OSCC 细胞增殖、侵袭、迁移等生物学行为参与肿瘤发生发展的机制调节。另有研究指出,OSCC 患者的血清样本中 miR-146a 呈明显的异常高表达^[10],且在多种恶性肿瘤患者血清中,miR-146a 均有相对特定的 miRNA 表达谱,血清样本检测作为一种简便易行,安全无创同时可避免内源性 RNA 酶降解的癌前诊断手段,临床诊治中具有积极意义。

综上所述,miR-146a 具有一定促癌基因作用,在 OSCC 细胞增殖、迁移、侵袭过程中具有重要意义,但关于 miR-146a 调控 OSCC 的具体分子作

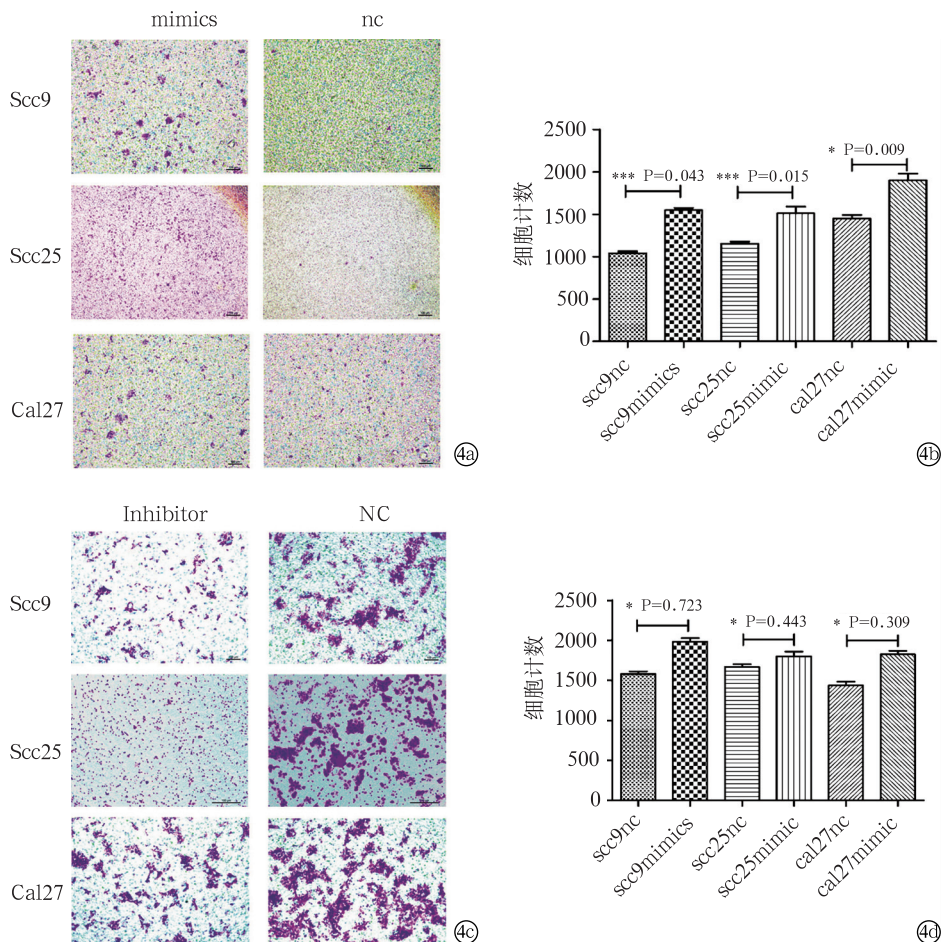


图 4 转染 miR-146a mimics 和 miR-146a inhibitor 后不同 OSCC 细胞系侵袭情况

Fig. 4 The invasion abilities of OSCC cells transformed with miR-146a mimics and miR-146a inhibitor.

用机制尚不明确,明确 OSCC 中 miR-146a 的生物学意义对肿瘤诊治及预后判断均具有积极作用,笔者将通过进一步高通量测序分析帮助探索 miR-146a 在口腔癌发生发展过程中的具体作用机制。

参考文献

- [1] 俞力夫,代晓明,李逸松. mRNA 差异表达与口腔鳞状细胞癌相关研究进展[J]. 口腔医学研究, 2016, 32(1) : 100—104
- [2] Kiko T, Nakagawa K, Tsuduki T, et al. MicroRNAs in plasma and cerebrospinal fluid as potential markers for Alzheimer's disease [J]. Journal of Alzheimers Disease JAD, 2014, 39(2) : 253—259
- [3] Müller M, Kuiperij H B, Claassen J A, et al. MicroRNAs in Alzheimer's disease: differential expression in hippocampus and cell-free cerebrospinal fluid [J]. Neurobiology of Aging, 2014, 35(1) : 152—158
- [4] Liu C J, Tsai M M, Tu H F, et al. miR-196a, Overexpression and miR-196a2, Gene Polymorphism Are Prognostic Predictors of Oral Carcinomas [J]. Annals of Surgical Oncology, 2013, 20(3) : 406—414
- [5] Wu D, Xi Q Y, Cheng X, et al. miR-146a-5p inhibits TNF- α -induced adipogenesis via targeting insulin receptor in primary porcine adipocytes [J]. Journal of Lipid Research, 2016, 57(8) : 1360—1372
- [6] Scapoli L, Palmieri A, Lo Muzio L, et al. MicroRNA expression profiling of oral carcinoma identifies new markers of tumor progression [J]. Int J Immunopathol Pharmacol, 2010, 23(4) : 1229—1234
- [7] 常粲然,杜军,李二红,等. microRNA-21 在口腔鳞状细胞癌中的表达与预后关系[J]. 口腔医学研究, 2015, 31(9) : 927—930
- [8] Yuwen DL1, Sheng BB, Liu J, et al. MiR-146a-5p level in serum exosomes predicts therapeutic effect of cisplatin in non-small cell lung cancer [J]. Eur Rev Med Pharmacol Sci, 2017, 21(11) : 2650—2658
- [9] Pauley K M, Stewart C M, Gauna A E, et al. Altered miR-146a expression in Sjögren's syndrome and its functional role in innate immunity [J]. European Journal of Immunology, 2011, 41(7) : 2029—2039
- [10] Hung PS, Liu CJ, Chou CS, et al. miR-146a enhances the oncogenicity of oral carcinoma by concomitant targeting of the IRAK1, TRAF6 and NUMB genes [J]. PLoS One, 2013, 8(11) : e79926